

جداسازی و شناسایی مخمر تریکوسپورون آساهی تولید کننده آنزیم لیپاز از کیمچی و بهینه سازی پارامترهای موثر بر تخمیر و تولید لیپاز

فریده طباطبایی یزدی^{۱*}، سمیرا مرادی^۲، بهروز علیزاده بهبهانی^۳، علیرضا وسیعی^۳، سید علی مرتضوی^۴

۱- دانشیار و عضو هیئت علمی گروه علوم و صنایع غذایی، دانشکده کشاورزی، دانشگاه فردوسی مشهد

۲- دانشجوی کارشناسی ارشد علوم و صنایع غذایی، دانشکده کشاورزی، دانشگاه تهران

۳- دانشجوی دکتری علوم و صنایع غذایی، دانشکده کشاورزی، دانشگاه فردوسی مشهد

۴- استاد و عضو هیئت علمی گروه علوم و صنایع غذایی، دانشکده کشاورزی، دانشگاه فردوسی مشهد

(تاریخ دریافت: ۹۳/۹/۱۷ تاریخ پذیرش: ۹۳/۱۱/۲۰)

چکیده

کیمچی نوعی پیش غذا و مکمل گیاهی تخمیر شده بیر حسب ماده اولیه، روش فراوری و محل جغرافیایی به بیش از ۱۶۱ نوع تقسیم بندی می شود. در این پژوهش بعد از تولید کیمچی و انجام عمل تخمیر جداسازی و شناسایی میکروگانیسم های از طریق روش مولکولی انجام شد. عامل تخمیر سویه تولید کننده آنزیم لیپاز، تریکوسپورون آساهی از نمونه کیمچی جداسازی شد ($19.0 \pm 3.3 \text{ U/mL}$). جهت افزایش تولید آنزیم لیپاز ترکیبات موثر بر رشد و عوامل کشت در تخمیر غوطه وری در ارلن مایر با استفاده از نرم افزار Design Expert بهینه سازی شد. برای غربال سازی فاکتور ها از طرح PB استفاده شده که تخمیر در شرایط دمای C^{۳۰} به مدت ۸ ساعت و pH^{۶.۱} اوایله ۶/۱ برای انتخاب متغیرهای موثرتر بر تولید آنزیم لیپاز انجام پذیرفت. با توجه به نتایج بدست آمده عصاره سیاه دانه، روغن زیتون، منیزیم کلرید و عصاره مخمر به ترتیب موثرترین متغیرها بودند. متغیرهای اندازه ذرات و پیون تاثیر منفی داشتند. که متغیر ها با تأثیر بیشتر انتخاب شده و بهینه سازی انجام گردید. در نهایت در شرایط یهینه با استفاده از محیط کشت حاوی ۱۵٪ عصاره سیاه دانه، ۱۰ g/L عصاره مخمر، ۲۲/۵ g/L روغن زیتون و ۲۵ mM/L منیزیم کلرید در شرایط سرعت چرخش ۱۵۰ فعالیت آنزیمی $U/mL \pm 0.5$ بدست آمد همچنین فعالیت آنزیم بعد از حالت بهینه ۱/۸۴ برابر حالت قبل از بهینه سازی است. مقدار پارامترهای کیتیکی و لیپاز خام به ترتیب برابر با 0.053 mM/min و 0.367 mM میگاند. متن محاسبه شد که نشانگر ویژه گزینی بالای این سویه نسبت به سویه های دیگر تولید کننده آنزیم لیپاز است.

کلید واژگان: کیمچی، فعالیت آنزیم، تریکوسپورون آساهی، بهینه سازی

۱- مقدمه

اشتها، کم کردن یبوست و کترل فلور روده‌ای کمک کند و اثرات ضد سلطانی و جلوگیری کننده از پری و سایر اثرات کمک کننده به سلامت داشته باشد [۱۰].

بوعزیزو همکاران (۲۰۱۱) سویه جدید استافیلکوکتسوس زایلوسوس را جداسازی کردند. فعالیت ویژه آنزیم تصفیه شده در pH ۸ و دمای ۵۵ درجه سانتیگراد با استفاده از امولسیون روغن زیتون برابر با ۶۳۰ U/mg بود [۱۱]. راماکریشانو بنرجی از کنجاله کنجدی که حاوی ۱۰٪ روغن کنجد بود در محیط کشت پنی سیلیوم کربنیروژنم استفاده کردند که آنزیم فعالیت قابل توجهی را در حضور این سوبسترای جامد نشان داد [۱۲]. گامبرتو و همکاران رشد و تولید آنزیم در تخمیر بستر جامد به سویه بزرگیلی پنی سیلیوم رستربیکوم را مورد مطالعه قرار دادند. این پژوهشگران از پیتون، روغن زیتون در نسبت‌های مختلف کریں به نیتروژن استفاده کردند [۱۳]. افزایش بیوسترن لیپاز به وسیله آسپرژیلوس نایجر و سودوموناس سودوآلکالیزنس F-III در حضور یون منیزیم توسط پوکورنی و همکاران گزارش شده است [۱۴].

در پژوهش حاضر یازده فاکتور (روغن زیتون، عصاره مخمر، پیتون، منیزیم کلرید، گلوكز، شربت ذرت، ملاس، عصاره سیاه دانه آسیاب شده، عصاره دانه کنجد آسیاب شده، سرعت چرخش و اندازه ذرات) غریال سازی شد. تمام فاکتورهای موثر در تولید یک محصول تخمیری با بازده بالا در نظر گرفته شده است. سرعت چرخش به دلیل تاثیر بر هواده موثر برای میکروارگانیسم، اندازه ذرات دانه کنجد و سیاه دانه برای تاثیر این متغیر بر ترکیبات عصاره این دانه‌ها و تاثیر بر بازده انتخاب شدند. روغن زیتون به عنوان منع کریں روغنی یا القاء کننده انتخاب شد و همچنین عصاره دانه سیاه دانه و دانه کنجد نیز به عنوان منع کریں روغنی و نیز به عنوان منع نیتروژن و مواد معدنی انتخاب شدند. به دلیل این که عصاره دانه‌های سیاه دانه و کنجد حاوی ترکیبات متنوعی هستند، طبق مطالعات اولیه صورت گرفته در بین یون‌های مختلف منیزیم تاثیر مثبتی بر تولید لیپاز نشان داد. هدف از این پژوهش جداسازی و شناسایی مخمر تریکوپسیرون آساهی به عنوان میکروارگانیسم تولید کننده آنزیم لیپاز از کیمچی بود و در انتهای با استفاده از روش بهینه سازی سطح پاسخ نوع و غلظت بهینه ترکیبات و پارامترهای موثر بر کشت برای افزایش تولید آنزیم لیپاز می‌باشد.

لیپاز^۱ آنزیمی متعلق به گروه هیدرولازها^۲ است که عملکرد بیولوژیکی برای هیدرولیز تری گلیسرول‌های نامحلول و تبدیل آنها به اسید چرب آزاد، منو و دی آسیل گلیسرول و گلیسرول نشان می‌دهد.علاوه بر این، در عملکرد طبیعی واکنش‌های استریفیکاسیون، ایتراستریفیکاسیون و ترنس استریفیکاسیون را در محیط‌های غیر آبی کاتالیز می‌کنند. لیپاز بعد از پروتئاز و آمیلاز از نظر فروش در دنیا جایگاه سوم را دارد اما است که نشانده‌های کاربردهای متنوع و فراوان صنعتی آنها می‌باشد [۱]. کاربردهای صنعتی بالقوه لیپاز شامل فروختن در غذا (اصلاح آroma)،شوینده‌ها (هیدرولیز چربی‌ها)، صنعت دارویی (پزشکی، گوارشی) و چرم (خارج کردن چربی از پوست حیوانات) است. لیپاز میکروبی نسبت به لیپاز‌های گیاهی و حیوانی بیشتر مورد توجه قرار دارد و به دلیل شدت فعالیت کاتالیتیکی، بازده بالا، هزینه تولید پایین و پایداری در حلال‌های آلبی است [۱].

میکروارگانیسم شامل باکتری‌ها، قارچ‌ها، مخمرها و اکتینومیست‌ها به عنوان منابع لیپاز خارج سلولی به دلیل سهولت بازیافت آنزیم از محیط کشت شناخته شده‌اند. در میان مخمرها، گونه‌های کاندیدا به عنوان مهمترین تولید کننده لیپاز گزارش شده است. لیپاز تولیدی به وسیله کاندیدا روگوزرا به دلیل فعالیت بالا و انجام عمل هیدرولیز همانند عمل سنتز قوی یکی از آنزیم‌های مهم صنعتی است [۲]. دیگر مخمرهای گزارش شده که دارای پتانسیل تولید لیپاز هستند شامل یاروویا لیپولیتیک [۳]، ساکارومایسنس سریزروزیه [۴]، تریکوپسیرون آساهی [۵]، آئروبازیدیوم پولولانس [۶] و کاندیدا کایلیندراسیا [۷ و ۸] است. آنزیم‌های لیپاز در حضور القاء کننده سنتز می‌شوند [۹].

کیمچی نوعی پیش‌غذا و مکمل گیاهی تخمیرشده می‌باشد و بیشتر در فصل زمستان که دسترسی به سبزیجات تازه کاهش می‌یابد مصرف می‌گردد. کیمچی از نظر تغذیه‌ای منبع مهمی از ویتامین‌ها، املاح، فیبر رژیمی، سایر مواد مغذی کاربردی و مواد شیمیایی غیرمغذی گیاهی می‌باشد. کیمچی می‌تواند به افزایش

1. Triacylglycerol acylhydrolases, EC 3.1.1.3

2. Hydrolases

3. Inducer

۲- مواد و روشها

۱-۲- مواد

در دمای ۳۲ درجه سانتیگراد به مدت ۲۰ دقیقه سانتریفیوژ و سپس مایع رویی که حاوی آنزیم می باشد را با فیلتر ۰/۲ میکرونی برای بدست آوردن محلول شفاف آنزیمی صاف گردید. فعالیت آنزیم از طریق روش winker & Stuckmann (1979) با دستگاه اسپکتروفتومتر Cecil مدل CE2502 در طول موج ۴۱۰ نانومتر اندازه گیری شد. از سوبسترای پلی نیتروفنیل پالمیتات بدین منظور استفاده شد. در این حالت فعالیت آنزیم مقیاسی از آنزیم لیپاز تولیدی است. واحد فعالیت آنزیمی (U) به این صورت تعریف می شود که مقدار آنزیمی که یک میکرومول پلی نیتروفنل را در دقیقه در شرایط آزمایش آزاد می کند. در اینجا فعالیت آنزیم مقیاسی از آنزیم لیپاز تولیدی است [۱۶].

۲-۵- نحوه آماده سازی اموسیون روغن زیتون

برای تهیه اموسیون روغن زیتون از صفحه عربی به عنوان پایدار کننده برای دست یافتن به یک اموسیون مناسب با پایداری کافی استفاده شد. برای تهیه اموسیون با صفحه عربی ابتدا آب را تا درجه حرارت ۴۵ حرارت داده شد سپس مقدار صفحه مورد نظر اضافه شد و به مدت ۲۴ ساعت در دمای محیط قرار داده شد. بعد از ۲۴ ساعت محلول صفحه را بر همزدن مغناطیسی قرار داده در حین همزدن محلول روغن زیتون را به صورت قطرات ریز به ترکیب اضافه گردید. سپس با استفاده از دستگاه التراکس (T25) مدل IKA (۲ دقیقه ۵۰۰۰ rpm و ۳ دقیقه ۸ rpm) ترکیب صفحه و روغن زیتون هموژنیزه گردید [۱۷].

۲-۶- تعیین پارامترهای کیتیکی

سوبسترای پلی نیتروفنیل پالمیتات در غلظت های ۰/۵ تا ۱ mM/ml در دمای ثابت ۳۷ درجه سانتیگراد و pH ۷ برای تعیین پارامترهای کیتیکی سرعت واکنش حداقل (V_{max}) و ثابت میکائیلیس متن (K_m) برای آنزیم لیپاز خام به کاربرده شده است. یک واحد فعالیت آنزیمی (U) به عنوان مقدار آنزیمی است که یک میکرومول اسید چرب را در دقیقه از هیدرولیز پلی نیتروفنیل پالمیتات در شرایط واکنش آزاد می کند. پارامترهای کیتیکی از نمودار معادله Lineweaver-burk تخمین زده شد.

سیاه دانه و دانه کنجد از بازار محلی تهیه شد. مواد شیمیایی شامل تریتون ایکس ۱۰۰، تریس HCl، ایزوپروپانول، صفحه عربی، ردامین B، پیتون، عصاره مخمر، منزیم کلرید ۶ آبه، آب پیتون از شرکت مرک آلمان و گلوکزاز شرکت سیگما الدریج کشور کانادا تهیه گردید. سایر مواد مورد استفاده دارای درجه آزمایشگاهی بودند.

۲-۲- تهیه کیمچی

پس از تهیه مواد اولیه کیمچی مطابق با روش طباطبایی یزدی و همکاران (۲۰۱۳) تولید کیمچی صورت پذیرفت [۱۰].

۲-۳- روش جداسازی باکتری های تولید کننده

آنزیم لیپاز

ده گرم از نمونه کیمچی به ۹۰ میلی لیتر از آب پیتون ۱٪/٪ متنقل شد و عمل هموژنیزه شدن انجام پذیرفت (مدل Seaward آلمان). کشت سطحی از رقت های تهیه شده بر محیط کشت حاوی ۱۰ g/l عصاره مخمر، ۵ g/l پیتون، ۱۰ g/l گلوکز، ۳ g/l کلرید سدیم، ۲۵ g/l روغن زیتون اموسیون شده و ۰/۰۰۱ g/l آگار pH ۷ در سه تکرار انجام پذیرفت؛ به این ترتیب که روی هر پلیت ۱۰ میلی لیتر از هر رقت ریخته و به کمک اسپریدر پخش شد. در دو دمای ۳۰ و ۴۵ درجه سانتی گراد به مدت ۴۸ ساعت در شرایط هوایی گرمانه گذاری شد گردد. که در اطراف کلنی های تولید کننده آنزیم لیپاز در این محیط کشت در زیر تابش نور لامپ UV هاله نارنجی ایجاد می شود [۱۵]. چندین مرحله تا خالصسازی کامل بر روی همین محیط کشت ردامین B آگار به صورت کشت خطی کشت داده شد تا کلنی تک و کاملاً خالص بດست آید.

۲-۴- اندازه گیری فعالیت آنزیم لیپاز

در جهت تعیین کمی فعالیت لیپازی مخمرهای جداسازی شده و مقایسه این سویه ها از نظر فعالیت از این روش استفاده شد. پس از کشت میکروگانیسم در محیط کشت مورد نظر و گرمانه گذاری سوسپانسیون میکروبی را با سانتریفیوژ در دور ۶۰۰ rpm

داخل آن بود قرار گرفت سپس روی هیتر در دمای ۶۰ به مدت یک ساعت قرار دادیم. بعد این زمان عصاره بدست آمده را با کاغذ واتمن شماره یک صاف شد. اگر مقدار ۴۰ گرم از هر کدام از پودرها را در داخل ۴۰۰ میلی لیتر آب بجوشانیم، در ۱۰۰ میلی لیتر از این عصاره غلظتی برابر ۱۰٪ از هر کدام از این پودرها خواهیم داشت. برای تهیه ۱۰۰ میلی لیتر محیط تخمیری در داخل یک اrlen مایر در حالتی که غلظت ۱۰٪ از عصاره مورد نیاز بود ۱۰۰ میلی لیتر از عصاره تهیه شده را در داخل arlen مایر ریخته و بقیه ترکیبات مورد نیاز را به آن اضافه شد. روغن زیتون هم به صورت امولسیون شده اضافه شد که نحوه تهیه امولسیون روغن زیتون قبل از توضیح داده شد. دمای گرماخانه گذاری در تمام آزمایشات ۳۰ بود. روش عصاره گیری با اصلاحات انجام شده با روش Rockenbach و همکاران (۲۰۱۱) انجام گرفت [۱۹].

۹-۲- غربال گری فاکتورها با طرح آزمایش PB

برای غربال سازی اولیه ترکیبات محیط کشت و عوامل کشت از طرح PB استفاده کردیم. با استفاده از نرم افزار- Design- Expert 7.0.0 (Stat-Ease, Inc., Minneapolis, MN, USA) در تخمیر حالت غوطه وری جدول ۱ یازده فاکتور (روغن زیتون، عصاره مخمر، پپتون، منیزیم کلرید، گلوکز، شربت ذرت، ملاس، عصاره سیاه دانه آسیاب شده، عصاره دانه کنجد آسیاب شده، سرعت چرخش و اندازه ذرات) غربال سازی شد. تمام آزمایشات در دمای ۳۰°C انجام گردید.

۷-۲- شناسایی مولکولی سویه‌های جداسازی شده

مرحله اول شناسایی استخراج DNA می باشد که از روش استخراج حرارتی استفاده گردید. مرحله بعدی انجام واکنش PCR است که با استفاده از پرایمرهای زیر انجام پذیرفت.

ITS1 (5' TCCGTAGGTGAAACCTGC GG 3')
ITS4 (5' TCCTCCGCTTATTGATATGC 3')

میکروتیوب حاوی مخلوط واکنش‌دهنده‌های PCR را داخل دستگاه ترموسایکلر (Germany) Sensquest قرار داده و برنامه اجرا شده برای PCR عبارت بود از: واسرشتگی اوایله در ۹۴ درجه سانتی گراد به مدت ۲ دقیقه (یک چرخه)، تکثیر DNA درد مای ۹۴ درجه سانتی گراد به مدت ۳۰ ثانیه، ۵۶ درجه سانتی گراد ۴۵ ثانیه و ۷۲ درجه سانتی گراد به مدت ۲ دقیقه (۳۵ چرخه) و نهایتاً برای تکثیر نهایی از دمای ۷۲ درجه سانتی گراد به مدت ۵ دقیقه (یک چرخه) استفاده شد. جهت مشاهده باندها ژل آگارز ۰.۰۰۰٪ تهیه شد و در نهایت توالی یابی صورت پذیرفت [۱۸].

۸-۲- تهیه محیط تخمیر حالت غوطه وری

تهیه عصاره سیاه دانه و کنجد به این صورت بوده که پس از شستشو دانه ها آنها را آسیاب و سپس با استفاده از الک ذرات یکدست شد. مقدار معینی از پودر را در داخل تور با منافذ ریز ریخته و در داخل بشر یک لیتری که قبلاً مقدار معینی آب مقطر

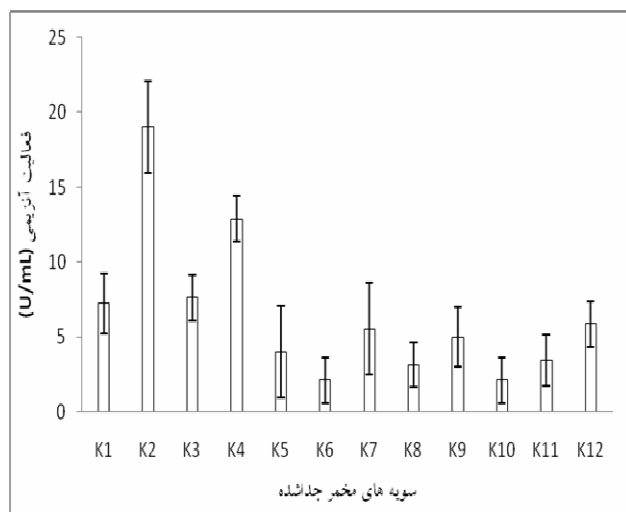
جدول ۱ متغیرهای آزمایش در دو سطح مورد استفاده جهت تولید لیپاز توسط جدایه اسپیتوباکتر در تخمیر حالت غوطه وری

متغیر	واحد	نماد	کمترین سطح	بیشترین سطح	
عصاره سیاه دانه	%	A	۲۰	۱۰	
عصاره دانه کنجد	%	B	۲۰	۱۰	
گلوکز	%	C	۲۰	۱۰	
عصاره مخمر	g/l	D	۱۲	۵	
پپتون	g/l	E	۱۲	۵	
روغن زیتون	g/l	F	۳۰	۱۰	
منیزیم کلرید	mM	G	۴۰	۲۰	
ملاس	g/l	H	۱۲	۵	
اندازه ذرات	mm	J	۱	۰/۵	
سرعت چرخش	rpm	K	۱۸۰	۱۵۰	
شربت ذرت	g/l	L	۳۰	۱۰	

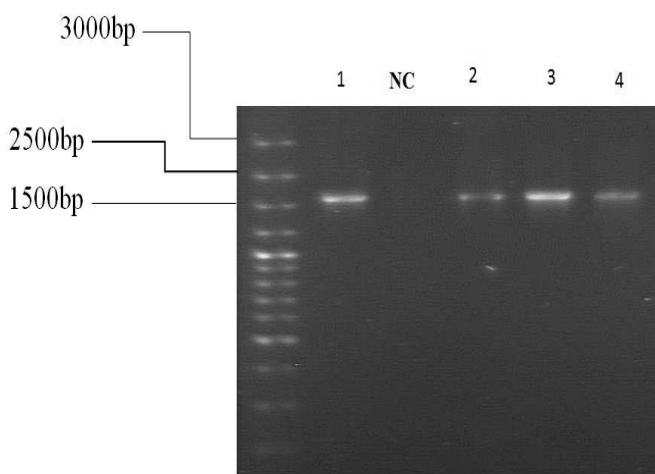
Mm: میلی مول

Mm: میلی متر

است و در این نمونه موجود بود. کومار و همکاران (۲۰۰۸) سویه تریکوسپورون آساهی را از نمونه خاک جداسازی کردند و تولید لیپاز توسط آن را مورد بررسی قرار دادند [۲۲]. بوسامار و همکاران (۲۰۱۰) تولید لیپاز از ۲۹ سویه مخمر از نژاد هیبیسکوئی روزاسینتیسیس را بررسی کردند. در میان مخمرهای جدا شده سودوزیما هیبیسینسیس، دباریومایسنس اکسیدنتالیس و کریپتوکوکوس به عنوان بالاترین تولید کننده لیپاز یافت شدند [۲۳].



شکل ۱ مقایسه فعالیت آزیمی سویه های جدا شده از نمونه کیمچی



شکل ۲ پروفایل های باندی مربوط به سویه هی مورد آزمون شماره ۴

۱۰-۲- بهینه سازی با استفاده از روش سطح پاسخ

بعد از غربال سازی اولیه بر طبق نتایج بدست آمده متغیرهای که تاثیر بیشتری داشته را انتخاب کرده و طرح مربع مرکزی برای هر دو حالت در جهت بهینه سازی سطوح تولید آزیم لیپاز مورد استفاده قرار گرفت.

۳- نتایج و بحث

جداسازی مخمر تریکوسپورن آساهی

دوازده ایزوله مخمر از نمونه بعد از غنی سازی و کشت در محیط کشت اختصاصی غنی سازی شده با روغن زیتون جداسازی شدند. این دوازده ایزوله با استفاده از محیط ردامین B آگار پلیت براساس خاصیت ایجاد هاله نارنجی در اطراف کلینی های تولید کننده لیپاز در زیر تابش نور لامپ UV ۳۵۰ نانومتر) غربال سازی شدند. روش ردامین B آگار پلیت برای تعیین میکروارگانیسم های تولید کننده آزیم لیپاز به کار می رود. بیان شده است که تشکیل هاله فلورسنت در تابش اشعه UV می تواند به علت تشکیل دی مرها ردامین B با مونو یا دی گلیسریدها و اسیدهای چرب آزاد تولیدی به وسیله آزیم در محیط باشد [۲۰]. سپس فعالیت لیپاز این مخمر ها با روش اسپکتروفوتومتری براساس خاصیت تجزیه پلی نیتروفنیل پالمیتات به عنوان سوبسترا اندازه گیری شد. که در نتیجه در میان مخمرهای جداسازی شده، مخمر K2 بیشترین فعالیت (۱۹/۰۱±۳U/ml) را از خود نشان داده برای مطالعات بعدی انتخاب شد (شکل ۱). نتایج حاصل از توالی بانی نشان می دهد Trichosporon که جدایه مورد نظر تا حد بسیار زیادی به asahii شبیه می باشد. مخمرهای شناسایی شده در کیمچی شامل ساکارومایسنس تورولوپس، تریکوسپورا دباریومایسنس، پیچیا، ردوتلرولا، اندومایکوپسیس، کلیورومایسنس، کریپتوکوکوس و تریکوسپورا و است [۲۱]. علی رغم محیط اسیدی شدید کیمچی و ایده آل نبودن این غذایی تخمیری برای این مخمر از نظر اسیدیته این مخمر به بقاء خود ادامه داده

بلند زنجبیر و غیر اشبع مانند اولئیک اسید نسبت داد [۲۷]. فدیلوگلو و ارکمن (۲۰۰۲) بهترین نتایج را در تولید لیپاز از کاندیدا روگوزا با استفاده از روغن زیتون به عنوان منبع کربن در حضور منابع نیتروژن بدست آوردنده و همچنین غلاظت بالای بیومس در حضور روغن زیتون را گزارش کردند. سیاه دانه نیز به دلیل حضور روغن فراوان در ساختار شیمیایی خود و ترکیب اسیدهای چرب آن (لینولئیک اسید و اولئیک) و از طرف دیگر به دلیل حضور ترکیبات معدنی و کربوهیدرات در ساختار آن به عنوان سوبسترای ایدآل برای میکرووارگانیسم‌های تولید کننده آنزیم لیپاز است [۲۸].

پیمتو و همکاران در محیط کشت پنی سیلیوم سیترینوم از ۱٪ روغن زیتون و ۵٪ عصاره مخمر استفاده کردند، که با استفاده از روغن زیتون به عنوان منبع کربن، عصاره آنزیمی بالاترین فعالیت را نشان داده است و کاهش غلاظت عصاره مخمر همچنین موجب کاهش فعالیت آنزیم شده است و هنگامی که آمونیوم سولفات جایگزین عصاره مخمر شده است فعالیت مشاهده نشده است [۲۹]. دالمیدا و همکاران (۲۰۱۳) از روغن زیتون با غلاظت ۱/۵٪ به عنوان منبع کربن و عصاره مخمر به عنوان منبع نیتروژن برای تولید لیپاز توسط کاندیدا/ویسو/اناتسی استفاده کردند که به نتایج خوبیدر تولید لیپاز ($10/63\text{U/mg}$) دست یافتدند. همچنین گزارش کردند که استفاده از شربت ذرت به عنوان منبع نیتروژن تاثیر منفی بر روی رشد و تولید لیپاز دارد [۳۰].

مواد معدنی نقش معنی داری در تولید لیپاز دارد. آنها به عنوان کوفاکتور در مسیرهای بیوسنتز آنزیم می‌توانند تولید متابولیت‌های بالارزشی را بهبود دهند. حسن و همکاران (۲۰۰۶) گزارش کردند که یون منزیم به طور کلی از طریق تشکیل کمپلکس با اسیدهای چرب یونیزه شده، تغییر در حلالیت و رفتارهای بین سطحی سبب افزایش فعالیت آنزیم لیپاز می‌شوند [۳۱].

غربال سازی از طریق PB در حالت تخمیر جامد و غوطه وری

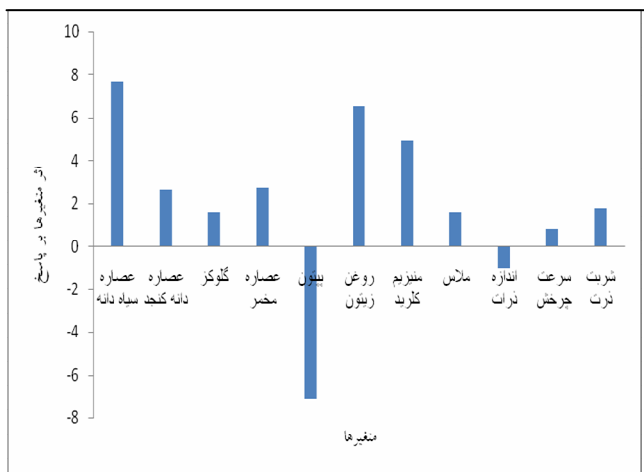
با استفاده از طرح غربال سازی PB، دوازده آزمایش تخمیر حالت جامدکه در جدول ۲، نشان داده شده است در شرایط تخمیر در دمای ۳۰ به مدت ۴۸ ساعت و pH ۶/۱ برای انتخاب متغیرهای موثرتر بر تولید آنزیم لیپاز در میان ۱۱ فاکتور انتخابی موثر بر فرایند در تخمیر حالت غوطه وری با توجه به نتایج بدست آمده از طرح PB (جدول ۲) منحنی تاثیر متغیرها (شکل ۳) تاثیر مثبت و منفی و همچنین موثرترین متغیرها را به ما نشان داد. عصاره سیاه دانه، روغن زیتون، منزیم کلرید و عصاره مخمر به ترتیب موثرترین متغیرها بودند. متغیرهای اندازه ذرات و پیتون تاثیر منفی داشتند. گلوكز، ملاس، شربت ذرت و سرعت چرخش هم تاثیر مثبت داشتند اما کمتر از متغیرهای دیگر بود. منع نیتروژن مناسب برای رشد و تولید متابولیت همانطوری که گفته شده بسیار ضروری است. در آزمایش صورت گرفته عصاره مخمر به عنوان منبع نیتروژن تاثیر بسیار معنی داری داشته اما پیتون و شربت ذرت تاثیر کمتری نشان داده اند. صالح و همکاران گزارش کردند که منابع نیتروژن آلی، تریپتون و شربت ذرت بر روی تولید لیپاز توسط رایزوپوس/وریز/ تاثیر ندارند. روغن‌ها به عنوان القاء گر در تولید آنزیم لیپاز عمل می‌کنند و حضور آنها در محیط کشت کاملاً ضروری است [۲۴]. ویژه گزینی سوبسترا بستگی به ساختار شیمیایی ملکول سوبسترا و خصوصیات فیزیکی امولسیون دارد [۲۵] چاندر و همکاران گزارش کردند که اسیدهای چرب کوتاه زنجبیر در مورد تولید لیپاز /سترپتوموکوکوس فیسیالیس نسبت به اسیدهای چرب بلند زنجبیر و غیر اشبع مانند اولئیک اسید تاثیر بازدارنگی دارد [۲۶]. چن و همکاران با اضافه کردن روغن زیتون تولید لیپاز از سینتوپاکتر رادیورسیستس را تقویت کردند. افزایش فعالیت آنزیم در حضور روغن زیتون که به عنوان القاء کننده در محیط کشت عمل می‌کند را می‌توان به مقدار بالای اسیدهای چرب

جدول ۲ دوازده آزمایش مربوط به طرح PB برای یازده متغیر جهت اندازه‌گیری فعالیت لیپاز در تخمیر غوطه وری

ردیف	متغیرهای آزمایش (مقادیر واقعی)	پاسخ(U/ml)	متغیرهای آزمایش (مقادیر واقعی)										
			L	K	J	H	G	F	E	D	C	B	A
۲۶/۱	-۱	۱	-۱	-۱	-۱	-۱	-۱	۱	۱	۱	-۱	۱	۱
۲۳/۷	۱	-۱	-۱	-۱	۱	۱	۱	۱	-۱	۱	۱	-۱	۲
۲۲/۶	۱	۱	-۱	۱	۱	-۱	-۱	۱	-۱	-۱	-۱	-۱	۳
۱۲/۷	-۱	-۱	-۱	-۱	-۱	-۱	-۱	-۱	-۱	-۱	-۱	-۱	۴
۱۸/۳	۱	-۱	۱	-۱	-۱	-۱	-۱	۱	۱	۱	-۱	۱	۵
۲۴/۱	۱	۱	-۱	۱	-۱	-۱	-۱	۱	۱	۱	۱	-۱	۶
۳۲/۱	۱	-۱	۱	۱	-۱	۱	-۱	-۱	-۱	-۱	۱	۱	۷
۳۸/۳	-۱	-۱	-۱	۱	۱	۱	-۱	۱	۱	۱	-۱	۱	۸
۲۸/۴	۱	۱	۱	-۱	۱	۱	-۱	۱	-۱	-۱	-۱	-۱	۹
۲۹/۳	۱	۱	-۱	۱	-۱	-۱	-۱	۱	۱	۱	۱	۱	۱۰
۱۶/۷	-۱	-۱	۱	۱	۱	-۱	-۱	۱	۱	-۱	۱	-۱	۱۱
۱۵/۳	-۱	۱	۱	۱	-۱	۱	۱	۱	-۱	۱	-۱	-۱	۱۲

بهینه سازی با استفاده از روش سطح پاسخ

پس از تعیین مناسبترین منابع و شرایط از بین متغیرهای مورد آزمایش، بهینه سازی غلظت این متغیرها با استفاده از روش سطح پاسخ انجام شد. روش سطح پاسخ معمولاً برای بررسی اثر ترکیبی چندین متغیر به منظور یافتن شرایط بهینه برای یک شرایط چند متغیره به کار می‌رود. طرح مربع مرکزی برای بهینه سازی سطوح تولید آنزیم لیپاز مورد استفاده قرار گرفت. در تخمیر غوطه وری (جدول) چهار متغیر نسبت عصاره سیاه دانه (A)، روغن زیتون (B)، منیزیم کلرید (C) و عصاره مخمر (D) به عنوان متغیرهای مستقل و مقدار فعالیت آنزیم متغیر پاسخ (R) وابسته انتخاب شد.



شکل ۳ نمودار میزان اثر یازده متغیر بر پاسخ در طرح PB در تخمیر حالت غوطه وری

جدول ۳ طرح مربیعات مرکزی براساس سه متغیر معنادار و فعالیت لیپاز به عنوان پاسخ در تخمیر مایع

ردیف	متغیرهای آزمایش (مقادیر واقعی)	عصاره سیاه دانه٪ (A)			
		روغن زیتون٪ (B)	منیزیم کلرید mM (C)	عصاره مخمر٪ (D)	فعالیت لیپاز (R)
۱	۱۰	۱/۵	۲۰	۰/۵	۲۳/۱
۲	۲۰	۱/۵	۲۰	۰/۵	۲۷/۳
۳	۱۰	۳	۲۰	۰/۵	۲۵/۳
۴	۲۰	۳	۲۰	۰/۵	۲۶/۴
۵	۱۰	۱/۵	۳۰	۰/۵	۲۴/۵
۶	۲۰	۱/۵	۳۰	۰/۵	۳۱/۵
۷	۱۰	۳	۳۰	۰/۵	۲۷/۴
۸	۲۰	۳	۳۰	۰/۵	۴۱/۳
۹	۱۰	۱/۵	۲۰	۱/۵	۲۴/۵
۱۰	۲۰	۱/۵	۲۰	۱/۵	۳۹/۲
۱۱	۱۰	۳	۲۰	۱/۵	۱۷/۴
۱۲	۲۰	۳	۲۰	۱/۵	۴۷/۱
۱۳	۱۰	۱/۵	۳۰	۱/۵	۱۷/۳
۱۴	۲۰	۱/۵	۳۰	۱/۵	۵۱/۴
۱۵	۱۰	۳	۳۰	۱/۵	۲۷/۳
۱۶	۲۰	۳	۳۰	۱/۵	۴۷/۱
۱۷	۱۰	۲/۲۵	۲۵	۱	۲۴/۳
۱۸	۲۵	۲/۲۵	۲۵	۱	۶۵
۱۹	۱۵	۰/۷۵	۲۵	۱	۱۸/۵
۲۰	۱۵	۳/۷۵	۲۵	۱	۳۳/۱
۲۱	۱۵	۲/۲۵	۱۵	۱	۲۱/۳
۲۲	۱۵	۲/۲۵	۳۵	۱	۳۴/۳
۲۳	۱۵	۱۰	۲۵	۰	۲۵/۷
۲۴	۱۵	۱۰	۲۵	۲	۳۰/۱
۲۵	۱۵	۱۰	۲۵	۱	۳۱/۹
۲۶	۱۵	۱۰	۲۵	۱	۲۹/۹
۲۷	۱۵	۱۰	۲۵	۱	۳۱/۹
۲۸	۱۵	۱۰	۲۵	۱	۳۵/۱
۲۹	۱۵	۱۰	۲۵	۱	۳۰/۳
۳۰	۱۵	۱۰	۲۵	۱	۳۲/۵
۳۱	۱۵	۱۰	۲۵	۱	۳۶/۲

برای حالت غوطه وری بدست آمد. در معادله ها مقادیر به عنوان فعالیت آنزیمی و متغیرهای A, B, C و D متغیرهای مستقل می باشند.

آزمایش های مذکور انجام و پاسخ های بدست آمده با استفاده از نرم افزار Design Expert تحلیل شدند. از رگرسیون معادله ۱ Error! Reference source not found.

جدول ۴ جدول واریانس آزمایش های بهینه سازی تخمیر غوطه وری

p مقدار	F مقدار	منبع
<۰/۰۰۰۱	۱۴/۷	مدل
<۰/۰۰۰۱	۱۱۹/۹۴	عصاره سیاه دانه A
۰/۰۱۷۷	۶/۹۹	روغن زیتون B
۰/۰۰۳۸	۱۱/۴۱	منیزیم کلرید C
۰/۰۱۰۲	۸/۴۷	عصاره مخمر D
۰/۷۷۳۲	۰/۰۸۶	AB
۰/۱۲۱۵	۲/۶۷	AC
۰/۰۰۰۲	۲۲/۰۶	AD
۰/۳۰۴۱	۱/۱۳	BC
۰/۶۳۱۸	۰/۲۴	BD
۰/۶۲۲۸	۵/۸۷	CD
۰/۰۰۰۸	۱۷/۱۷	A ²
۰/۰۲۷۶	۵/۸۷	B ²
۰/۱۰۳۶	۲/۹۸	C ²
۰/۰۸۸۶	۳/۲۹	D ²
۰/۰۶۰۹	۳/۷۲	عدم برازش

نسبت بزرگتر از ۴ مناسب است که در این طرح مقدار این پارامتر ۱۶/۰۷ است که مقدار بسیار خوبی برای نسبت سیگنال به نویه است [۱۸].

$$\text{معادله ۱} \\ \frac{۳۲/۵۴+۸/۵۸}{۲/۲۸D+۰/۲۸A} B \frac{۲/۰۷+۴/۵۱+A}{C} D = \frac{۲/۶۵+C+}{۱/۰۲+B} C \frac{۱/۰۷+A}{۰/۴۷-B} D = \frac{۰/۴۸-C}{۰/۹۷} D = -$$

$$1/74 = -1/24 - 1/3$$

اگر مقادیر p برای هر منبع بزرگتر از ۰/۰۵ (در سطح ۵٪) باشد، نشانگر آن است که متغیر مورد نظر در مدل معنادار نیست و اگر کوچکتر از این مقدار باشد نشاندهنده معنادار بودن متغیر می باشد. در تخمیر حالت جامد با توجه به

نتایج تجزیه و تحلیل واریانس برای برازش مدل های سطح پاسخ در جدول ۴ تخمیر حالت غوطه وری ارائه شده است. مقدار p محاسبه شده برای مدل کمتر از ۰/۰۰۰۱ بود که نشاندهنده معنادار بودن مدل است. ضریب تبیین (۰/۹۲۷) و ضریب تبیین تعیین شده (۰/۸۴) تایید می کند که مدل بسیار معنی دار است. به عبارتی ۹۲/۷٪ تغییرات پاسخ به تغییر متغیرهای مستقل مربوط می شود و تنها ۷/۳٪ از تغییرات پاسخ با مدل قابل توجیه نیست. دقت کافی^۴ دامنه مقادیر پیش بینی شده در نقاط طرح با میانگین خطای پیش بینی شده است. این فاکتور نسبت سیگنال به نویه^۵ را اندازه گیری می کند که

4. adequate precision
5. noise

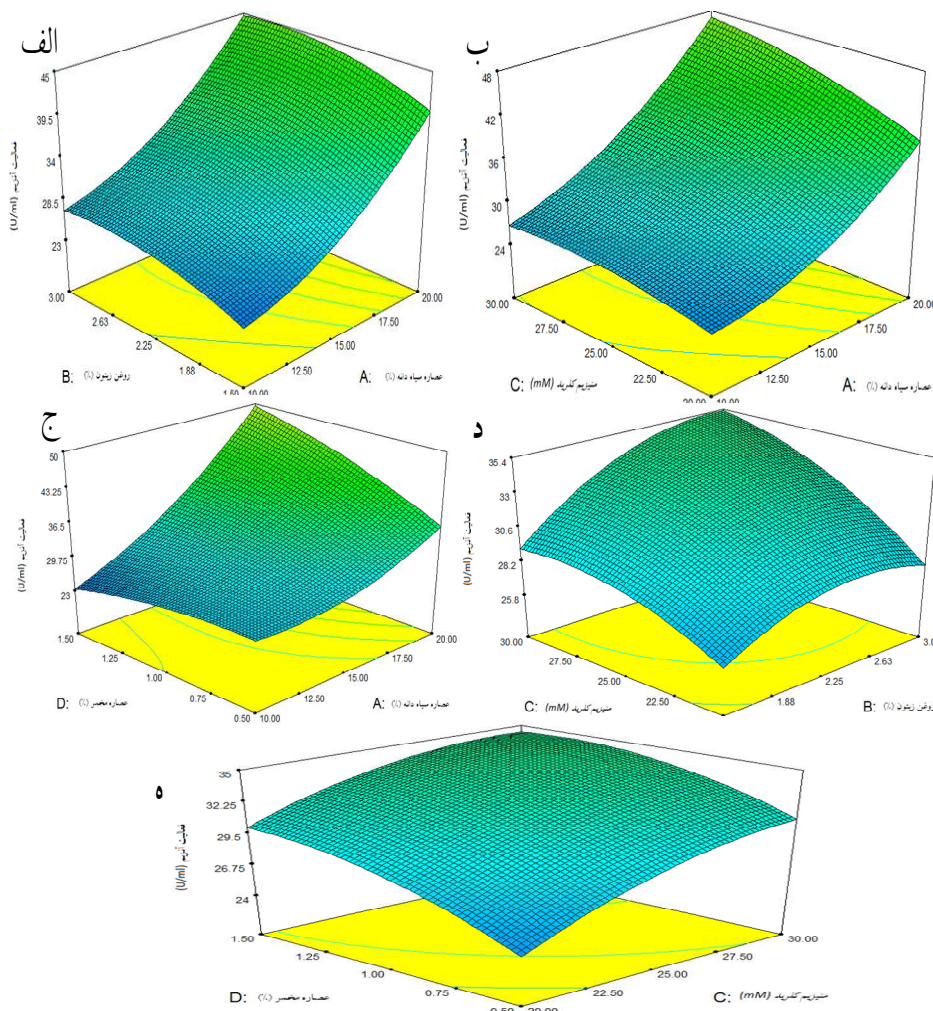
مقداری ترکیب نیتروژن است که در نتیجه هم به عنوان منبع کربن روغنی، نیتروژن و مواد معدنی عمل می کند. شکل ۴ د تاثیر متقابل غلظت منیزیم کلرید (mM) و غلظت روغن زیتون (g/ml) بر روی فعالیت آنژیم را مورد بررسی قرار می دهد. در مقدار ثابت منیزیم کلرید با افزایش مقدار روغن زیتون مقدار فعالیت آنژیم افزایش می یابد، همچنین در نسبت ثابت روغن زیتون با افزایش مقدار منیزیم کلرید فعالیت آنژیم افزایش می یابد و با افزایش هر دو متغیر فعالیت آنژیم افزایش می یابد. اما واضح است که فعالیت آنژیم لیپاز با افزایش همزمان هر دو متغیر فعالیت آنژیم افزایش قابل توجهی دارد. شکل ۴. ه تاثیر متقابل غلظت منیزیم کلرید (mM) و عصاره مخمر (%) بر روی فعالیت آنژیم را مورد بررسی قرار می دهد. در مقدار ثابت منیزیم کلرید با افزایش مقدار عصاره مخمر مقدار فعالیت آنژیم افزایش می یابد، همچنین در نسبت ثابت عصاره مخمر با افزایش مقدار منیزیم کلرید فعالیت آنژیم افزایش می یابد و با افزایش هر دو متغیر فعالیت آنژیم افزایش می یابد. کوک و همکاران (۱۹۹۵) گزارش کردند برای سویه/اسیتوبیکتر کالکوستیکوس *BD 413* به طور معنی داری یون های منیزیم، کلسیم، مس و مولیبدن باعث تشدید تولید آنژیم لیپاز شده است [۱۶]. افزایش بیوستز لیپاز به وسیله آسپرژیلوس نایجر و سودوموناس سودوآکالیزنس - *F*-*111* در حضور یون منیزیم گزارش شده است (پوکورنی و همکاران، ۱۹۹۴) [۱۵] بروزلى و همکاران (۲۰۰۹) از ضایعات آبی آسیاب زیتون^۷ برای تولید لیپاز با استفاده از کاندیدا/ سیلیندراسیا استفاده کردند. استفاده از این مکمل همرا با آمونیوم کلریدو 2g/L روغن زیتون منجر به فعالیت آنژیمی در حدود 10 U/ml شده است [۹]. بورکرت^۸ و همکاران (۲۰۰۴) از روش سطح پاسخ برای مطالعه تاثیر منابع کربن (روغن زیتون و گلوکز) و غلظت منابع نیتروژن (شربت ذرت) در تولید لیپاز به وسیله سویه جئوتریکوم استفاده

جدول ۴ تجزیه واریانس هر چهر متغیر در حالت خطی و متغیرهای اثر متقابل AC, AD, BC, BDAB دارای اثر معنی داری است و بقیه متغیرها در سطح ۵٪ تاثیر معنی داری ندارند. متغیر عصاره سیاه دانه بیشترین تاثیر را نشان می دهد.

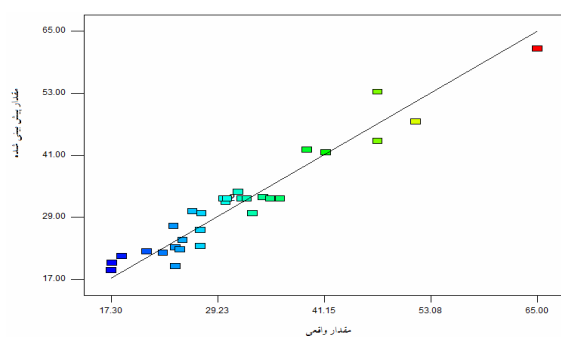
نمودارهای تاثیر متغیرهای مستقل بر فعالیت آنژیم لیپاز در حالت غوطه وری در شکل ۴، آورده شده است. شکل ۴.الف نمودار تاثیر متقابل غلظت روغن زیتون و عصاره سیاه دانه بر روی فعالیت آنژیم را مورد بررسی قرار می دهد. در مقدار ثابت روغن زیتون با افزایش عصاره سیاه دانه مقدار فعالیت آنژیمی افزایش مقدار روغن زیتون فعالیت آنژیمی افزایش چشمگیری ندارد و با افزایش هر دو متغیر فعالیت آنژیمی افزایش می یابد. شکل ۴ ب نمودار تاثیر متقابل غلظت منیزیم کلرید (mM) و عصاره سیاه دانهبروی فعالیت آنژیم را مورد بررسی قرار می دهد. در مقدار ثابت منیزیم کلرید با افزایش مقدار عصاره سیاه دانه مقدار فعالیت آنژیمی افزایش می یابد، همچنین در نسبت ثابت عصاره سیاه دانه با افزایش مقدار منیزیم کلرید فعالیت آنژیمی افزایش معناداری پیدا نمی کند و با افزایش هر دو متغیر فعالیت آنژیمی افزایش می یابد. در شکل ۴ ج مانند دو نمودار قبلی در مقدار ثابت عصاره سیاه دانه با افزایش مقدار عصاره مخمر مقدار فعالیت آنژیمی افزایش معنی داری نمی یابد، همچنین در مقدار ثابت عصاره مخمر با افزایش مقدار عصاره سیاه دانه فعالیت آنژیمی افزایش می یابد و با افزایش عصره سیاه دانه هر دو متغیر فعالیت آنژیمی افزایش می یابد. از این سه نمودار می توان استنباط کرد که عصاره سیاه دانه نسبت به متغیرهای دیگر تاثیر بیشتری بر روی فعالیت آنژیمی دارد. سیاه دانه علاوه بر دارا بودن روغن در ترکیبات شیمیابی حاوی مواد معدنی مانند پتاسیم، منیزیم و ... می باشد و همچنین دارای

6. Olive- mill wastewater
7. Burkert

کردند [۳۲].



شکل ۲ نمودارهای سطحی سه بعدی مربوط به تاثیر متغیرهای مستقل بر روی فعالیت آنزیم در تخمیر حالت غوطه وری



شکل ۵ نمودار قیاس همبستگی داده های واقعی در برابر مقدار پیش
بینی شده مدل

نمودار قیاس^۸ همبستگی میان داده های تجربی و مقادیر پیش
بینی شده فعالیت آنزیم لیپاز را آشکار می کند (شکل ۵)

Error! **Reference source not found.**

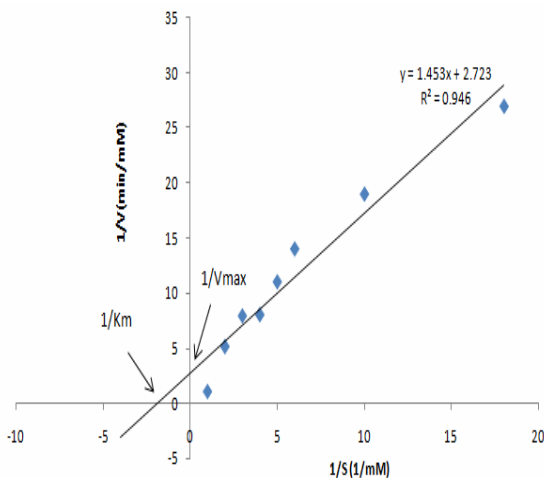
خط شبیدار نشان دهنده برازش مناسب با مدل و اختلاف قابل

قبول بین داده های تجربی و مقادیر پیش بینی شده در دامنه

بررسی شده متغیرها می باشد.

8. Parity plot

بهینه سازی



شکل ۶ نمودار معادله میکائیلیس-منتن برای تعیین پارامترهای کیتیتیکی

۴- نتیجه گیری

آنزیم لیپاز به دلیل کاربردهای متعددی که امروزه در دنیا صنعت دارد به عنوان آنزیمی پر تقاضا در بازار مصرف است، از طرف دیگر قیمت بالای این آنزیم نیاز به روش هایی که بتواند ضمن هزینه پایینتر تولید و بازده بیشتر را افزایش می دهد. با توجه به نتایج این پژوهش ملاحظه می شود که تخمیر حالت جامد ضمن کاهش هزینه آنزیم بیشتری را نسبت به تخمیر حالت مایع تولید کرده است. لیپاز سنتز شده توسط مخمرها پتانسیل بالقوه برای انجام واکنش های استریفیکاسیون و ترنس استریفیکاسیون در حلال های آلبی، سنتز برخی استرهای صنعتی و فرایند زیستی پساب های صنعتی غنی از چربی را دارا است. سویه تولید کننده آنزیم لیپاز، تریکوپسپورون آساهی از نمونه کیمچی جداسازی شد ($U/ml = 19.0 \pm 2.0$). در جهت افزایش تولید آنزیم لیپاز ترکیبات موثر بر رشد و عوامل کشت در غوطه وری با استفاده از نرم افزار Design Expert بهینه سازی شد. در تخمیر حالت غوطه وری در دمای $30^\circ C$ به مدت ۴۸ ساعت و $pH = 6.1$ برای انتخاب متغیرهای موثرتر بر تولید آنزیم لیپاز انجام شد. با توجه به نتایج بدست آمد، عصاره سیاه دانه، روغن زیتون، منیزیم کلرید و عصاره مخمر به ترتیب موثرترین متغیرها انتخاب شده و بهینه سازی انجام شد. با انجام بهینه سازی با محیط کشتی با مشخصات $15\%/\text{عصاره سیاه دانه}$ ، $1.0\text{ g/l}/\text{عصاره مخمر}$ ، $22.5\text{ g/l}/\text{روغن زیتون}$ و $25\text{ mM}/\text{l}$ منیزیم کلرید در

هدف از بهینه سازی سطح پاسخ یافتن نقطه مطلوب در فضای طرح است. این نقطه بسته به هدف فرایند می تواند یک نقطه بیشینه، کمینه یا ناحیه ای که در آن پاسخ در سراسر دامنه متغیرها ثابت باشد. در تولید هر فرآورده ای در مقیاس بزرگ، هزینه اجراء محیط کشت به اندازه بهره وری بالا از اهمیت فراوانی برخوردار است. به عبارت دیگر همیشه نقطه تولید حداقل بهترین انتخاب نیست. در تخمیر حالت جامد با استفاده از محیط کشت حاوی $15\%/\text{عصاره سیاه دانه}$ ، $1.0\text{ g/l}/\text{عصاره مخمر}$ ، $22.5\text{ g/l}/\text{روغن زیتون}$ و $25\text{ mM}/\text{l}$ منیزیم کلرید در شرایط سرعت چرخش 150 U/ml فعالیت آنزیمی $35 \pm 0.5\text{ U/ml}$ بدست آمد، که با بروزی و همکاران (۲۰۰۹) از ضایعات آبی آسیاب زیتون^۹ برای تولید لیپاز با استفاده از کاندیدا سیلیندراسیا استفاده کردند. استفاده از این مکمل همرا با $2/4\text{ g/L}$ آمونیوم کلریدو 3 g/L روغن زیتون منجر به فعالیت آنزیمی در حدود 10 U/ml اشده است [۹]. سالیهو و همکاران (۲۰۱۱) گزارش کردند استفاده از بهینه سازی آماری ترکیبات مغذی برای تشدید تولید لیپاز کاندیدا کای لینارسیا و به حداقل فعالیت $20/26\text{ U/mL}$ دست یافتند [۷]. پاپاگورا^{۱۰} و همکاران (۲۰۱۳) بهینه سازی تولید لیپاز از سویه جدا شده دباریومایسیس هانسنی^{۱۱} از زیتون های نمکی خشک گزارش کردند. بهینه سازی ترکیبات محیط کشت را با هدف تشدید تولید لیپاز به وسیله این سویه از طریق RSM بررسی کردند. ترکیبات بهینه محیط شامل (g/l) عصاره مخمر، پیتون، $10\text{ p}\mu\text{m}$ پتانسیم فسفات، 4 mM منیزیم سولفات، 7 آبه ، 1 g/L گلوکر، $13/1$ روغن زیتون، 19 mL توین $8/8$ و $pH = 7/4$ است [۳۳]. پارامترهای V_{max} ، K_m و $mM/min.ml$ لیپاز خام به ترتیب برابر با 0.367 mM و $10/53\text{ mM}$ از طریق نمودار معادله میکائیلیس-منتن محاسبه شد (نمودار ۴). هر چه مقدار کمتر باشد نشان دهنده affinity بالاتر بین آنزیم و سوبسترا است و هرچه بیشتر نشان دهنده کارایی کاتالیتیکی بالاتر آنزیم است.

9. Olive- mill wastewater

10. Papagora

11. Debaryomyces hansenii

- acetate. *Process Biochemistry* 43(10): 1054-1060.
- [6] Liu, Z., Z. Chi, L. Wang and J. Li (2008). Production, purification and characterization of an extracellular lipase from *Aureobasidium pullulans* HN2. 3 with potential application for the hydrolysis of edible oils. *Biochemical Engineering Journal* 40(3): 445-451.
- [7] Salihu, A., M. Z. Alam, M. I. AbdulKarim and H. M. Salleh (2011). Optimization of lipase production by *Candida cylindracea* in palm oil mill effluent based medium using statistical experimental design. *Journal of Molecular Catalysis B: Enzymatic* 69(1): 66-73
- [8] Kim, B. S. and C. T. Hou (2006). Production of lipase by high cell density fed-batch culture of *Candida cylindracea*. *Bioprocess and biosystems engineering* 29(1): 59-64.
- [9] Santis-Navarro, A., T. Gea, R. Barrena and A. Sánchez (2011). Production of lipases by solid state fermentation using vegetable oil-refining wastes. *Bioresource technology* 102(21): 10080-10084.
- [10] Tabatabaei Yazdi F, Alizadeh Behbahani B, Mortazavi SA, Ghaitaranpour A. 2013. Effect of temperature on microbial changes during kimchi fermentation. *Scientific Journal of Microbiology*, 2(1):9-14.
- [11] Bouaziz, A., H. Horchani, N. Ben Salem, Y. Gargouri and A. Sayari (2011). Expression, purification of a novel alkaline *Staphylococcus xylosus* lipase acting at high temperature. *Biochemical Engineering Journal* 54(2): 93-102.
- [12] Ramakrishnan, C. and B. Banerjee (1952). Studies on mold lipase. Comparative study of lipases obtained from molds grown on *Sesamum indicum*. *Archives of biochemistry and biophysics* 37(1): 131-135.
- [13] Gombert, A. K., A. L. Pinto, L. R. Castilho and D. M. Freire (1999). Lipase production by *Penicillium restrictum* in solid-state fermentation using babassu oil cake as substrate. *Process Biochemistry* 35(1): 85-90.
- [14] Pokorny, D., J. Friedrich and A. Cimerman (1994). Effect of nutritional factors on lipase biosynthesis by *Aspergillus niger*. *Biotechnology letters* 16(4): 363-366.
- [15] Kok, R. G., J. J. Thor, I. M.

۲۵mM/l مینیزیم کلرید در شرایط سرعت چرخش ۱۵۰ rpm دمای ۳۰°C فعالیت آنزیمی 35 ± 0.5 U/ml بدست آمد که فعالیت آنزیم بعد از حالت بهینه ۱/۸۴ برابر حالت قبل از بهینه سازی است. این نتایج نشاندهنده این مطلب است که روش به کار برده شده در جهت افزایش فعالیت آنزیمی موثر واقع شده است و افزایش چشمگیری در فعالیت آنزیمی مشاهده گردید.

۵- تشکر و قدردانی

مقاله علمی – پژوهشی حاضر مستخرج از طرح پژوهشی با کد ۲۰۱۸۹ مصوب در دانشگاه فردوسی مشهد می باشد. نویسنده‌گان مقاله بر خود لازم می دانند که از معاونت پژوهشی دانشگاه فردوسی مشهد به دلیل مساعدت‌های مالی جهت اجرای این طرح پژوهشی صمیمانه تشکر و قدردانی نمایند.

۶- منابع

- [1] Kempka, A. P., N. L. Lipke, T. d. L. F. Pinheiro, S. Menoncin, H. Treichel, D. M. Freire, M. Di Luccio and D. de Oliveira (2008). Response surface method to optimize the production and characterization of lipase from *Penicillium verrucosum* in solid-state fermentation. *Bioprocess and Biosystems Engineering* 31(2): 119-125.
- [2] Vakhlu, J. (2006). Yeast lipases: enzyme purification, biochemical properties and gene cloning." *Electronic Journal of Biotechnology* 9(1): 0-0.
- [3] Dominguez, A., M. Costas, M. Longo and A. Sanromán (2003). A novel application of solid state culture: production of lipases by *Yarrowia lipolytica*. *Biotechnology Letters* 25(15): 1225-1229.
- [4] Ciafardini, G., B. Zullo and A. Iride (2006). Lipase production by yeasts from extra virgin olive oil *Food microbiology* 23(1): 60-67.
- [5] Kumar, S. S. and R. Gupta (2008). An extracellular lipase from *Trichosporon asahii* MSR 54: Medium optimization and enantioselective deacetylation of phenyl ethyl

- enantioselective deacetylation of phenyl ethyl acetate. *Process Biochemistry* 43(10): 1054-1060.
- [23] Bussamara, R., A. M. Fuentefria, E. S. d. Oliveira, L. Broetto, M. Simcikova, P. Valente, A. Schrank and M. H. Vainstein (2010). Isolation of a lipase-secreting yeast for enzyme production in a pilot-plant scale batch fermentation. *Bioresource technology* 101(1): 268-275.
- [24] Salleh, A. B., R. Musani, M. Basri, K. Ampon, W. Yunus and C. Razak (1993). Extra-and intra-cellular lipases from a thermophilic *Rhizopus oryzae* and factors affecting their production. *Canadian journal of microbiology* 39(10): 978-981.
- [25] Esposito, S., M. Semeriva and P. Desnuelle (1973). Effect of surface pressure on the hydrolysis of ester monolayers by pancreatic lipase. *Biochimica et Biophysica Acta (BBA)-Enzymology* 302(2): 293-304.
- [26] Chander, H., B. Ranganathan and J. Singh (1979). Purification and some properties of lipase from *Streptococcus faecalis*. *Journal of Food Science* 44(6): 1747-1751.
- [27] Chen, S.-J., C.-Y. Cheng and T.-L. Chen (1998). Production of an alkaline lipase by *Acinetobacter radioresistens*. *Journal of fermentation and bioengineering* 86(3): 308-312.
- [28] Fadiiloglu, S. and O. Erkmen (2002). Inactivation of lipase by carbon dioxide under atmospheric pressure. *Journal of food engineering* 52(4): 331-335.
- [29] Pimentel, M., N. Krieger, L. Coelho, J. Fontana, E. Melo, W. Ledingham and J. Lima Filho (1994). Lipase from a Brazilian strain of *Penicillium citrinum*. *Applied biochemistry and biotechnology* 49(1): 59-74.
- [30] De Almeida, A.F., S.M. Taulk-Tornisielo, and E.C. Carmona (2013). *Influence of carbon and nitrogen sources on lipase production by a newly isolated Candida viswanathii strain*. *Annals of Microbiology*. 63(4): p. 1225-1234.
- [31] Hasan, F., A. A. Shah and A. Hameed (2009). Methods for detection and characterization of lipases: a comprehensive review. *Biotechnology advances* 27(6): 782-798.
- Nugteren Roodzant, M. B. Brouwer, M. R. Egmond, C. B. Nudel, B. Vosman and K. J. Hellingwerf (1995). Characterization of the extracellular lipase, LipA, of *Acinetobacter calcoaceticus BD413* and sequence analysis of the cloned structural gene. *Molecular microbiology* 15(5): 803-818.
- [16] Winkler, U. K. and M. Stuckmann (1979). Glycogen, hyaluronate, and some other polysaccharides greatly enhance the formation of exolipase by *Serratia marcescens*. *Journal of Bacteriology* 138(3): 663-670.
- [17] Gharibzahedi, S. M. T., S. M. Mousavi, M. Hamedi and F. Khodaiyan (2013). Application of response surface modeling to optimize critical structural components of walnut-beverage emulsion with respect to analysis of the physicochemical aspects. *Food and Bioprocess Technology* 6(2): 456-469.
- [18] Ribeiro, M. A., Alastrauey-Izquierdo, A., Gomez-Lopez, A., Rodriguez-Tudela, J. L. and Cuenca- Estrella, M. (2008). "Molecular identification and susceptibility testing of Trichosporon isolates from a Brazilian hospital." *Revista Iberoamericana de Micología* 25(4): 221-225.
- [19] Rockenbach, I.I., et al., *Phenolic compounds and antioxidant activity of seed and skin extracts of red grape (Vitis vinifera and Vitis labrusca) pomace from Brazilian winemaking*. *Food Research International*, 2011. 44(4): p. 897-901.
- [20] Hou, C. and T. Johnston (1992). Screening of lipase activities with cultures from the agricultural research service culture collection. *Journal of the American Oil Chemists' Society* 69(11): 1088-1097.
- [21] Tabatabaei Yazdi F, Mohebbi M, Mortazavi SA, Alizadeh Behbahani B, Ghaitaranpour A, Jouki M. 2012. Isolation, identification and comparison of lactic acid bacteria from fermented be produced in Iran Kimchi with Korean commercial samples: introduction of a probiotic product. *Scientific Journal of Biological Sciences*.1(6): 120-125.
- [22] Kumar, S. S. and R. Gupta (2008). An extracellular lipase from *Trichosporon asahii* MSR 54: Medium optimization and

extracellular lipase production by *Debaryomyces hansenii* isolates from dry-salted olives using response surface methodology. *Food and Bioproducts Processing* 91(4): 413-420.

- [32] Burkert, J., F. Maugeri and M. Rodrigues (2004). Optimization of extracellular lipase production by *Geotrichum sp.* using factorial design. *Bioresource technology* 91(1): 77-84.
- [33] Papagora, C., T. Roukas and P. Kotzekidou (2013). "Optimization of

Isolation and identification of *Trichosporon asahii* from Kimchi and medium optimization in submerge fermentation

Tabatabaei Yazdi, F. ^{1*}, Moradi, S. ², Alizadeh Behbahani, B. ³, Vasiee, A. R. ³, Mortazavi, S. A. ⁴

1. Associate Professor, Department of Food Science and Technology, Faculty of Agriculture, Ferdowsi University of Mashhad

2. M.Sc Student, Department of Food Science and Technology, Faculty of Agriculture, University of Tehran

3. Ph.D studentt, Department of Food Science and Technology, Faculty of Agriculture, Ferdowsi University of Mashhad

4. Professor, Department of Food Science and Technology, Faculty of Agriculture, Ferdowsi University of Mashhad

(Received: 93/11/20 Accepted: 93/9/18)

Kimchi is a fermented herbal supplement, and appetizer that according to a raw material, process and geographical location are classified more than161 types. In this study, after kimchi production, isolation and identification of microorganisms was performed by molecular method. Lipase producing strain, *Trichosporon asahii* was isolated from kimchi sample (19.01 ± 3 U/ml). The various medium components and culture parameters to achieve a more cost effective and economically viable bioprocess were screened and optimized using Design Expert software. PBdesignsare used to screen the most effective variables on lipase production that fermentation temperature and initial pHfor 48 hours 30 . According to the results, extract of nigella sativa, olive oil, yeast extract, magnesium chloride, respectively, were the most variable. Variable particle size and pepton ehavenegative effect. The variable selection and optimization on was performed more efficiently. Finally, lipase activity was 35 ± 0.5 U/ml in the optimal conditions using a medium containing15% sativa extract, 10 g/l yeast extract, 22.5 g/l olive oiland25 mM/l magnesium chloride in the rotation speed of 150 rpm, respectively, as well as enzyme activityafter84/1times the optimal state before optimization. The kinetic parameters V (max) and K (m) was 0.367 mM / min and 0.53 mM through Michaelis–Menten Chart, respectively. Low K_m indicates high affinity between enzyme and substrate and high V_{max} demonstrates high catalytic performance of the enzyme

Key words: Kimchi, lipase activity, *Trichosporon asahii*, Optimization

* Corresponding Author E-Mail Address: tabatabai@um.ac.ir